

Fig. 5-1



Fig. 5-2



Fig. 5-3



Fig. 5-4



Fig. 5-4a



Fig. 5-5



Fig. 5-6



Figure 5-7



Fig. 5-8



Fig. 5-9



Fig. 5-10



Fig. 5-11



Fig. 5-12

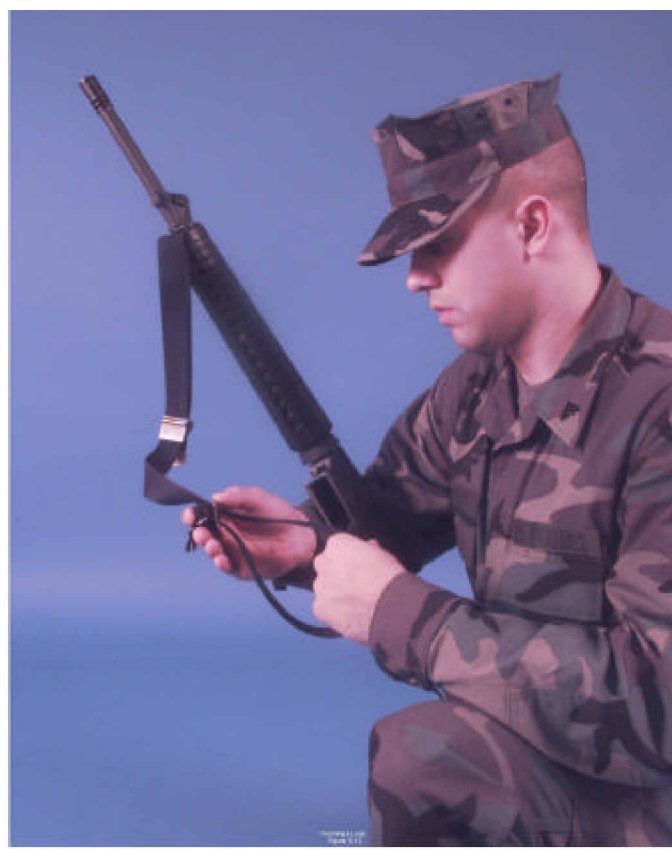


Fig. 5-13



Fig. 5-14



Fig. 5-15



Fig. 5-16



Fig. 5-17



Fig. 5-18



Fig. 5-19



Fig. 5-20



Fig. 5-21



Fig. 5-22



Fig 5-23



Fig. 5-24



Fig. 5-25



Fig. 5-26



Fig. 5-27



Fig. 5-28



Fig. 5-29



Fig. 5-30



Fig. 5-31



Fig. 5-32



Fig. 5-33



Fig. 5-34



Fig. 5-35

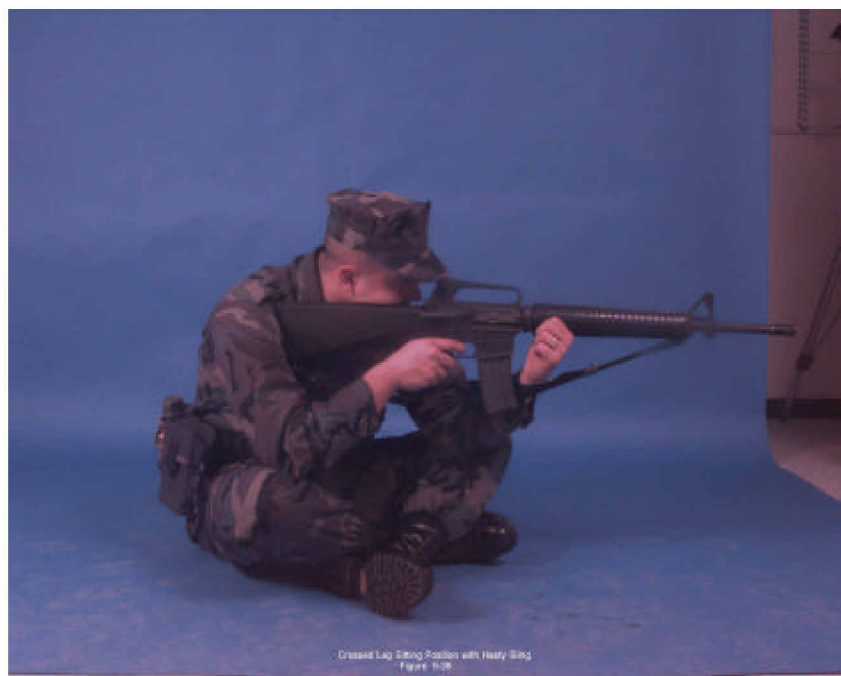


Fig. 5-36



Fig. 5-37



Fig 5-38



Fig. 5-39



Fig. 5-40



Fig. 6-1



Fig. 6-2



Fig. 6-3



Fig. 6-4



Fig. 6-5



Fig. 6-5a



Fig. 6-6



Fig 6-6a



Fig. 6-7



Fig. 6-7a



Fig. 6-8



Fig. 6-9



Fig. 6-10



Fig. 6-11



Fig. 6-12



Fig. 6-13



Fig. 6-14



Fig. 6-15



Fig. 6-16



Fig. 6-17



Fig. 6-21



Fig. 6-22



Fig. 6-23



Fig. 6-23a



Fig. 6-24



Fig. 6-25



Fig. 6-26



Fig. 6-27



Fig. 6-28



Fig. 6-29